

DAFTAR PUSTAKA

- Ainul, F.S. 2020. Penentuan Tipe Alterasi Berdasarkan Analisis Petrografi, Mineragrafi, Dan Geokimia Pada Daerah Kasimbar, Kabupaten Parigi Moutong, Provinsi Sulawesi Tengah. Program Studi Teknik Geologi Universitas Diponegoro, Semarang .Tim Eksplorasi PT Erde Ressourcen
- Bateman, A.M., and Jensen M.L.. 1981. Economic Mineral Deposits. John Wiley and Sons : Australia.
- Brobst, Donald A. and Pratt, Walden P. 1973. United States Mineral Resources. Washington: United States Government Printing Office.
- Brouwer, HA., 1934, Geologische onderzoeken op het eiland Celebes, *Verh. Geol. Mynb. Gen. Ned. en Kol.*, Geola Serie Vol. x.
- Calvert, S.J., 1999, The Cenozoic Evolution of the Lariang and Karama Basins, Sulawesi, Proceedings 27th Annual Convention and Exhibition, Indonesian Petroleum Association, Jakarta.
- Corbett, G.J., and Leach, T.M.. 1998. *Southwest Pacific gold-copper systems: Structure, alteration and mineralization*. Society of Economic Geologists Special Publication 6, 238 p.
- Chandramali, E. A. & Wijesekera, N. T., 2012. Field Data Collection for Land Information Systems – A Case Study on Quantification of Resource Requirement for a GIS. *Journal of the Institution of Engineers*, 45(4), pp. 51-64.
- Craig, J. R., & Vaughan, D. J. 1994. Ore Microscopy and Ore Petrography. New York: John Wiley & Sons, Inc.
- Cohen, A. S., Galaty, M. L. & Fisher, C. T., 2018. Petrographic Analysis of Ceramics and Clay from Angamuco, Michoacán. *Journal of Archaeological Science: Reports*, Volume 19, p. 155–165.
- Einaudi, M.T., Meinert, L.D., Newberry, R.J. 1981. Skarn deposits. Economic geology. Vol 77: 745-754.
- Evans, A.M. 1993. *Ore Geology and Industrial Minerals, An Introduction (3rd edition)*. Blackwell Science: USA.
- Evans, A.M. 1987. *An Introduction to Ore Geology*. Blackwell Scientific publications.
- Graha, D.S. 1987. *Batuan dan Mineral*. Nova, Bandung.
- Gross, G.A., Gower, C.F., and Lefebure, D.V., 1998. Magmatic Ti-Fe V oxide deposits. British Columbia Ministry of Employment and Investment, 1, 24J-1 - 24J-3.

- Guilbert, J. M. and Park, C. F. 1986. *The Geology of Ore Deposits*. Pergamon Press, Oxford.
- Grundmann, G. & Scholz, H., 2015. *The preparation of thin sections, polished sections, acetate foil prints, preparation for elutriation analysis, and staining tests for the optical and electron microscopy*. München: Engineering Geology Technische Universität München
- Haldar, S.K. 2018. Mineral Exploration (Second Edition), Elsevier, Pages 47-68,
- Harwan, 2018, "Characteristics Alteration and Mineralization Of Iron Ore at Pakke Area, Bontocani Subdistrict Bone Regency South Sulawesi", Universitas Hasanuddin, Makassar
- Holmes, R., 2016. Sampling procedures. In: *Advances in Gold Ore Processing*. Amsterdam, The Netherlands: Elsevier, p. 45–56.
- Idral, A., 2008, *Aplikasi Metoda Geomagnetik Dalam Menentukan Potensi Sumber Daya Biji Besi di Daerah Bukit Bakar dan Ulu Rabau, Kecamatan Lembah Gumanti Kab. Solok, Sumatra Barat*, Buletin Sumber Daya Geologi, Volume 3 No. 3
- Irfand, I. R. dan Yoszi, M.A. 2020. Pemetaan Sebaran Bijih Besi Berdasarkan Kualitas Dengan Metode Inverse Distance Weigthed (Idw) Di Daerah Jorong Pulakek Koto Baru Kabupaten Solok Selatan Jurusan Teknik Pertambangan Fakultas Teknik Universitas Negeri Padang , Vol 6, No 2
- Jensen, M., and Bateman, A.M., 1981. *Economic Mineral Deposits*. Canada : Jhon Wiley and Sons Inc.
- Kothari, C. R., 1990. *Research Methodology, Methods and Techniques*. 2nd ed. Ansari Road, Daryaganj, New Delhi: New Age International (P) Limited, Publishers.
- Kriswarini, R., Anggraini, D., Djamarudin, A., 2010, *Validasi Metoda XRF (X- Ray Fluorescence) Secara Tunggal dan Simultan untuk Analisis Unsur Mg, Mn dan Fe dalam Paduan Aluminium*, Prosiding Seminar Nasional VI SDM Teknologi Nuklir, Yogyakarta.
- Magdalena, M. 2010. Studi Alterasi dan Mineralisasi Tembaga pada Area Tambang Batu Hijau. Institut Teknologi Bandung.
- Maulana, A. 2017. *Endapan Mineral*. Penerbit Ombak : Yogyakarta.
- Mondal, S.K., 2008. Orthomagmatic ore deposits related to ultramafic-mafic rocks. Journal of the Geological Society of India, 72, 583-594.
- Mottana, A. 1977. *Guide to Rocks and Minerals*. Simon and Scuster's, New York.

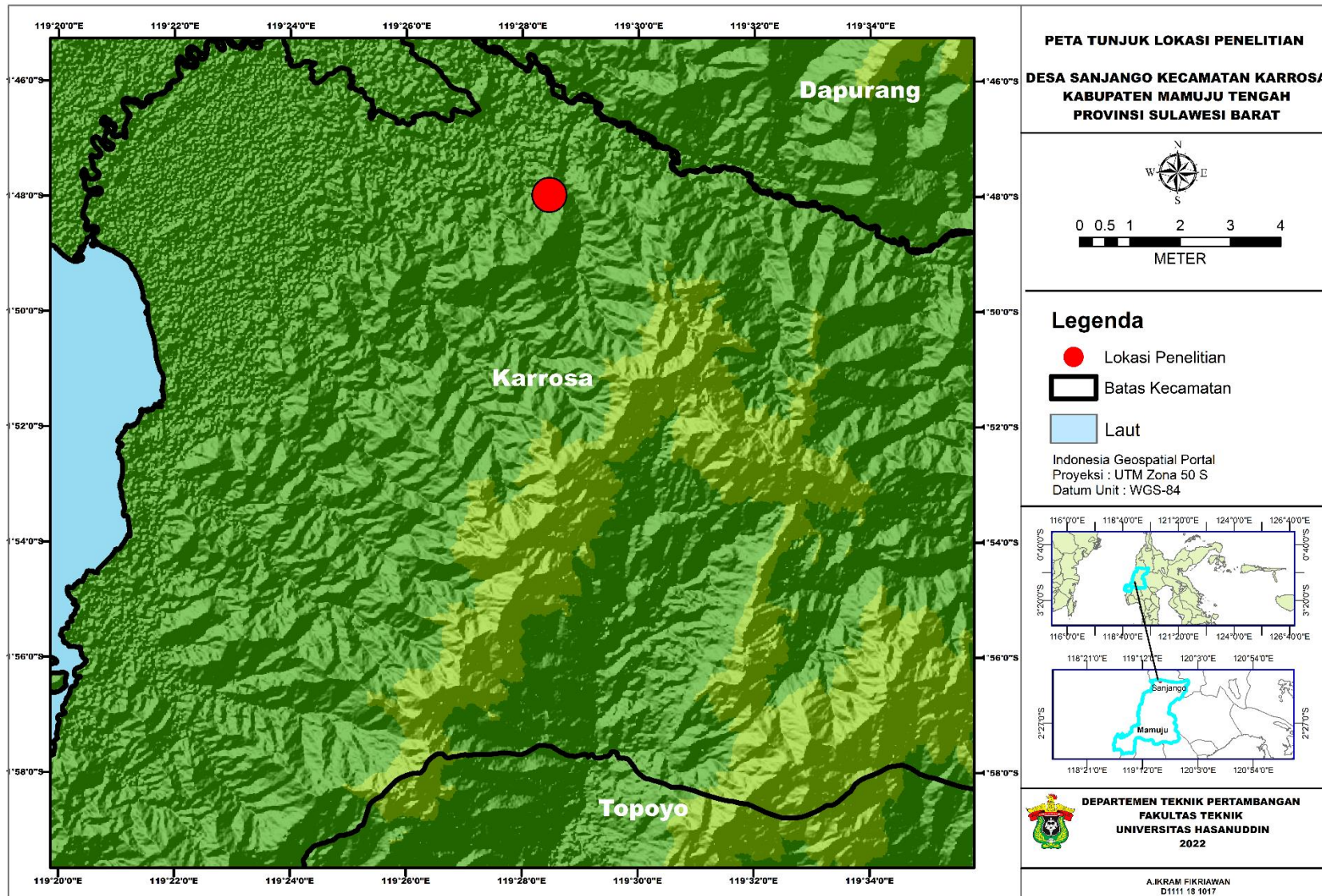
- Munasir, T.M. Zainuri dan Darminto. 2012 *Uji XRD dan XRF pada Bahan Mineral (Batuan dan Pasir) sebagai Sumber Material Cerdas (CaCO₃ dan SiO₂)*, Surabaya Vol 2 No 1.
- Pardiarto, B., dan Widodo, W., 2007. Genesa besi dan alumina laterit. Kelompok Kerja Mineral. Pusat Sumber Daya Geologi Bul., 3, 14-24.
- Perkins, D. 2002. *Mineralogy 2nd Edition*. Prentice-Hall Inc, New Jersey. United States of America.
- Prajono, F. 1992. *Hydrothermal mineral deposits principles and fundamental concepts for the exploration geologist*. Springer-Verlag : Berlin.
- Prajono, F. 2009. *Hydrothermal Processes and Mineral Systems*. Springer : Australia.
- Ramdor, P. 1969. The Ore Minerals and Their Intergrowth. Second Edition.
- Ratman, S. Atmawinata., 1993., Pemetaan Geologi Lembar Mamuju dalam skala 1 : 250.000, Pusat Penelitian dan Pengembangan Geologi Bandung
- Rice, P., 2015. *Pottery analysis: a sourcebook..* 2nd ed. Chicago : University of Chicago Press
- Rodrigues, F. M., 2003, *Investigation Into The Thermal Upgrading Of Nickeliferous Laterite Ores. A thesis submitted to the Robert Buchan Department of Mining In Corminity with the requirements for The degree of Master of applied Science*, Queen's University, Kingston, Toronto, Canada.
- Santoso, D. 2001. *Pengantar Teknik Geofisika*. Penerbit ITB: Bandung
- Sudradjat, M.D., 1987. Geologi Ekonomi. Jurusan Geologi. ITB. Bandung : Laboratorium Geologi Ekonomi.
- Sugiyono, P. D., 2013. *Metode Penelitian Kuantitatif, Kualitatif, dan R&D*. Bandung: Alfabeta.
- Sukamto R., And Simandjuntak T.O., 1981. , Tectonic Relationship Between Geologic Aspect of Western Sulawesi, Eastern Sulawesi and Banggai – Sula In The Light Of Sedimentological Aspects. GRDC Indonesia. Bandung
- Sukamto., 1975. Geologi Sulawesi. Departemen Pertambangan dan Energi. Direktorat Jenderal Geologi Dan Sumber Daya Mineral, Pusat Penelitian Dan Pengembangan.
- Sukido, Sukarna, D., Sutisna, K., 1993. Peta Geologi Lembar Pasangkayu, Sulawesi, Skala 1 : 250.000 Pusat Penelitian dan Pengembangan Geologi, Bandung.
- Sukandarrumidi. 2004. *Bahan Galian Industri*. Fakultas Teknik UGM, Yogyakarta.
- Simandjuntak, TO., B. Rusmana, Surono dan LB. Supandjono, 1991, Peta Geologi Bersistem Lembar Malili, Puslitbang Geologi.
- Warmada, I.W dan. Titisari. A, D. 2004. *Agromineralogi*. Fakultas Teknik UGM, Yogyakarta.

- Yao, L., Xie, G., Mao, J., Lu, Z., Zhao, C., Zheng, X., Ding, N. 2015. Geological, geochronological, and mineralogical constraints on the genesis of the Chengchao skarn Fe deposit, Edong ore district, Middle–Lower Yangtze River Valley metallogenic belt, eastern China. *Journal of Asian Earth Science*. Vol. 101: 69-82.
- Zhou, Z. Mao, J. Che, H. Ouyang, H. Ma, Xinghua. 2017. Metallogeny of the Handagai skarn Fe–Cu deposit, northern Great Xing'an Range, NE China: Constraints on fluid inclusions and skarn genesis. *Ore Geology Reviews*. Vol. 80: 623-644.

LAMPIRAN

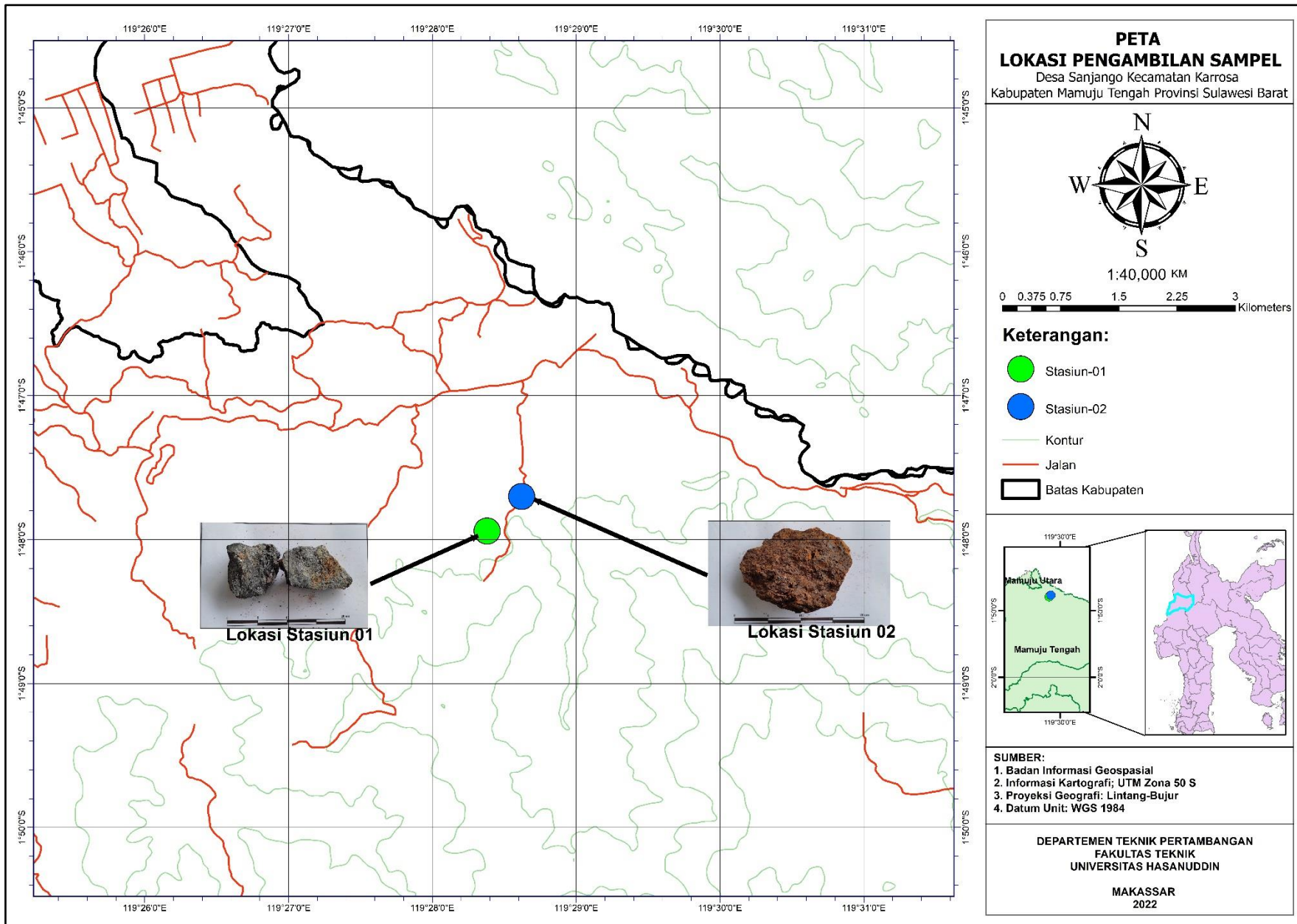
LAMPIRAN A

PETA LOKASI PENELITIAN



LAMPIRAN B

PETA PENGAMBILAN SAMPEL



LAMPIRAN C

NAMA MINERAL MENURUT WHITNEY (2010)

TABLE 1. Updated list of abbreviations

Symbol	Mineral Name	IMA status*	Symbol	Mineral Name	IMA status*	Symbol	Mineral Name	IMA status*
Acm	acmite	D	Chu	clinohumite	G	Ged	gedrite	Rd
Act	actinolite	A	Cpt	clinoptilolite	A	Gh	gehlenite	G
Adl	adularia	I	Cpx	clinopyroxene	GROUP	Gk	geikelite	G
Aeg	aegirine	A	Czo	clinozoisite	G	Gbs	gibbsite	A
Ak	åkermanite	G	Cln	clintonite	A	Gis	gismondine	A
Ab	albite	G	Coe	coesite	A	Glt	glaucanite	GROUP
Afs	alkali feldspar	GROUP	Coh	cohenite	G	Gln	glaucophane	Rd
Aln	allanite	A	Crd	cordierite	G	Gme	gmelinite	A
Alm	almandine	G	Crr	corrensite	G	Gth	goethite	A
Als	aluminosilicate ($\text{Al}_2\text{Si}_5\text{O}_8$ polymorphs)	GROUP	Crn	corundum	G	Gdd	grandierite	G
Alu	alunite	Rd	Cv	covellite	G	Gr	graphite	G
Amk	amakinite	Rd	Crs	cristobalite	G	Gre	greenalite	G
Ame	amesite	G	Crt	crocoite	D	Grs	grossular	A
Amp	amphibole	GROUP	Crl	cryolite	G	Gru	grunerite	Rd
Anl	analcime (analcite)	A	Cbn	cubanite	G	Gp	gypsum	G
Ant	anatase	A	Cum	cummingtonite	Rd	Hl	halite	G
And	andalusite	G	Cpr	cuprite	G	Hrm	harmotome	A
Adr	andradite	G	Csp	cuspидine	G	Hst	hastingsite	Rd
Ang	anglesite	G	Dph	daphnite	not listed	Hsm	hausmannite	G
Anh	anhydrite	G	Dat	datolite	G	Hyn	haiyne	G
Ank	ankerite	G	Dbr	daubreelite	G	Hzl	heazlewoodite	G
Ann	annite	A	Dee	deerite	A	Hd	hedenbergite	A
An	anorthite	G	Dia	diamond	G	Hem	hematite	A
Ano	anorthoclase	I	Dsp	diaspore	G	Hc	hercynite	G
Ath	anthophyllite	Rd	Dck	dickite	G	Hul	heulandite	A
Atg	antigorite	Rn	Dg	digenite	A	Hbn	hibonite	G
Ap	apatite	GROUP	Di	diopside	A	Hbs	hibschite	Rn
Apo	apophyllite	GROUP	Dpt	dioprase	G	Hgb	högbonite	D
Arg	aragonite	G	Dol	dolomite	G	Hol	hollandite	G
Arf	arfvedsonite	A	Drv	dravite	G	Hlm	holmquistite	Rd
Arm	armalcolite	Rd	Dum	dumortierite	G	Hbl	hornblende	GROUP
Apy	arsenopyrite	A	Eas	eastonite	Rd	Hw	howite	A
Aug	augite	A	Ec	ecandrewsite	A	Hu	humite	G
Awr	awaruite	G	Eck	eckermannite	A	Hgr	hydrogrossular	GROUP
Ax	axinitite	GROUP	Ed	edenite	A	Hyp	hypersthene	D
Bab	babingtonite	G	Elb	elbaite	G	Ilt	illite	GROUP
Bdy	baddeleyite	G	Ell	ellenbergerite	A	IIm	ilmenite	G
Brt	barite (baryte)	A	Eng	enargite	G	Ilv	ilvaite	G
Brs	barroisite	Rd	En	enstatite (ortho-)	A	Jd	jadeite	A
Bei	beidellite	G	Ep	epidote	GROUP	Jrs	jarosite	Rd
Brl	beryl	G	Eri	erionite	A	Jim	jimthompsonite	A
Bt	biotite	GROUP	Esk	eskolaite	G	Jhn	johannsenite	A
Bxb	bixbyite	G	Ess	esseneite	A	Krs	kaersutite	Rd
Bhm	böhmite (boehmite)	G	Eud	eudialite	A	Kls	kalsilite	G
Bn	bornite	A	Fas	fassaite	D	Kam	kamacite (ϵ -FeNi)	D
Brk	brookite	G	Fa	fayalite	G	Kln	kaolinite	A
Brc	brucite	G	Fsp	feldspar	GROUP	Ktp	katophorite	Rd
Bst	bustamite	G	Fac	ferro-actinolite	Rd	Kfs	K-feldspar	informal
Cal	calcite	G	Fath	ferro-anthophyllite	Rd	Khl	K-hollandite	H
Ccn	cancrinite	G	Fbs	fassaite	A	Kir	kirschsteinite	G
Cnl	cannilloite	H	Fcar	ferrocarrpholite	A	Krn	kornerupine	G
Cb	carbonate mineral	GROUP	Fcel	ferrocaldonite	A	Kos	kosmochlor	A
Car	carpholite	G	Fec	ferro-eckermannite	Rd	Kut	kutnohorite (kutnahorite)	G
Cst	cassiterite	G	Fed	ferro-edenite	Rd	Ky	kyanite	A
Cel	celadonite	A	Fgd	ferrogredrite	Rd	Lrn	larnite	G
Clt	celestine	A	Fgl	ferroglaucomphane	Rd	Lmt	laumontite	A
Cls	celsian	G	Fks	ferrokaersutite	A	Lws	lawsonite	G
Cer	cerussite	G	Fny	ferronyboite	H	Lzi	lazulite	A
Cbz	chabazite	A	Fprg	ferropargasite	Rd	Lzr	lazurite	G
Cct	chalcoelite	G	Frct	ferrocrichterite	A	Lpd	lepidolite	GROUP
Ccp	chalcopyrite	G	Fs	ferrosilite	Rn	Lct	leucite	G
Chm	chamosite	G	Fts	ferrotschermakite	Rd	Lm	limonite	not listed
Chs	chesterite	A	Fwn	ferrowinchite	Rd	Liq	liquid	
Chl	chlorite	GROUP	Fi	fibrolite (fibrous sillimanite)	informal	Lz	lizardite	G
Cld	chloritoid	G	Fl	fluorite	G	Lo	löllingite (loellingite)	G
Chn	chondrodite	G	Fo	forsterite	G	Mgh	maghemite	G
Chr	chromite	G	Fos	foshagite	G	Marf	magnesio-arfvedsonite	Rd
Ccl	chrysocolla	A	Frk	franklinite	G	Mcar	magnesiocarpholite	A
Ctl	chrysotile	Rd	Ful	fullerite	N	Mfr	magnesioperite	G
Cin	cinnabar	G	Ghn	gahnite	G	Mhs	magnesiohastingsite	Rd
Cam	clinoamphibole	GROUP	Glx	galaxite	G	Mhb	magnesiohornblende	Rd
Clc	clinochllore	G	Gn	galena	G	Mkt	magnesiokatophorite	Rd
Cen	clinoenstatite	A	Grt	garnet	GROUP			
Cfs	clinoferrosilite	A						

Symbol	Mineral Name	IMA status*	Symbol	Mineral Name	IMA status*	Symbol	Mineral Name	IMA status*
Mrbk	magnesioriebeckite	Rd	Pgt	pigeonite	A	Tae	taenite (Fe, Ni)	G
Msdg	magnesiosadanagite	Rd	Pl	plagioclase	GROUP	Tlc	talc	G
Mst	magnesiotaurolite	A	Prh	prehnite	G	Trm	taramite	Rd
Mtm	magnesiotaramite	Rn	Prm	prismatine	Rd	Tnt	tenantite	G
Mws	magnesiowustite	not listed	Psb	pseudobrookite	Rd	Tnr	tenorite	A
Mgs	magnesite	A	Pmp	pumpellyite-(Al)	A	Tep	tephroite	G
Mag	magnetite	G	Py	pyrite	G	Ttr	tetrahedrite	A
Maj	majorite	A	Pcl	pyrochlore	A	Thm	thomsonite	A
Mic	malachite	G	Prp	pyrope	G	Thr	thorite	G
Mng	manganosite	G	Pph	pyrophanite	G	Tly	tilleyite	G
Mrc	marcasite	G	Prl	pyrophyllite	G	Ttn	titanite (sphene)	A
Mrg	margarite	A	Pxf	pyroferroite	A	Tpz	topaz	G
Mar	marialite	G	Pxm	pyroxmangite	G	Tur	tourmaline	GROUP
Mei	meionite	G	Po	pyrrhotite	G	Tr	tremolite	Rd
Mll	meillite	GROUP	Qnd	qandilite	A	Trd	tridymite	G
Mw	merwinite	G	Qz	quartz	A	Tro	troilite	G
Mes	mesolite	A	Rnk	rankinite	G	Ts	tschermakite	Rd
Mc	microcline	G	Rlg	realgar	G	Usp	ulvöspinel	G
Mlr	millerite	G	Rds	rhodochrosite	A	Urn	uraninite	G
Mns	minnesotaite	G	Rdn	rhodonite	A	Uv	uvarovite	A
Mog	moganite	A	Rct	richterite	A	Vtr	vaterite	A
Mol	molybdenite	G	Rbk	riebeckite	Rd	Vrm	vermiculite	G
Mnz	monazite	A	Rwd	ringwoodite	A	Ves	vesuvianite	A
Mtc	monticellite	G	Rdr	roederite	A	Wds	wadsleyite	A
Mnt	montmorillonite	G	Rsm	rossmanite	A	Wag	wagnerite	Rd
Mor	mordenite	A	Rt	rutile	G	Wrk	wairakite	A
Mul	mullite	G	Sdg	sadanagaite	Rd	Wav	wavellite	A
Ms	muscovite	A	Sa	sanidine	G	Wht	whitlockite	G
Ntr	natrolite	A	Sap	saponite	G	Wlm	willmenite	G
Nph	nepheline	G	Spr	sapphirine	G	Wnc	winchite	Rd
Nrb	norbergite	G	Scp	scapolite	GROUP	Wth	witherite	G
Nsn	nosean	G	Sch	scheelite	G	Wo	wollastonite	A
Nyb	nybøite	Rd	Srl	schorl	G	Wur	wurtzite	G
OI	olivine	GROUP	Scb	schreibersite	G	Wus	wüstite	G
Omp	omphacite	A	Sep	sepiolite	G	Xtm	xenotime	A
Opl	opal	G	Ser	sercite	D	Xon	xonotlite	G
Opq	opaque mineral	informal	Srp	serpentine	GROUP	Yug	yugawaralite	A
Orp	orpiment	G	Sd	siderite	G	Zeo	zeolite	GROUP
Oam	orthamphibole	GROUP	Sil	sillimanite	G	Znw	zinnwaldite	GROUP
Or	orthoclase	A	Sme	smectite	GROUP	Zrn	zircon	G
Oen	orthoenstatite	D	Sdl	sodalite	G	Zo	zoisite	G
Opx	orthopyroxene	GROUP	Sps	spessartine	A			
Osm	osumilite	G	Sp	sphealerite	A			
Plg	palygorskite	G	Spn	spheine (titanite)	D			
Pg	paragonite	A	Spl	spinel	G			
Prg	pargasite	Rd	Spd	spodumene	A			
Pct	pectolite	G	Spu	spurrite	G			
Pn	pentlandite	G	St	staurolite	G			
Per	periclase	G	Stv	stevensite	Q			
Prv	perovskite	G	Stb	stilbite	A			
Ptl	petalite	G	Stp	stilpnomelane	A			
PhA	phase A	not listed	Sti	stishovite	A			
Ph	phenigite	G	Str	strontianite	G			
Php	phillipsite	A	Sud	sudoite	Rd			
Phl	phlogopite	A	Syl	sylvite	G			
Pmt	piemontite	A						

* International Mineralogical Association (IMA) abbreviations: A = Approved; D = Discredited; G = Grandfathered (generally regarded as valid mineral name); GROUP = Name designates a group of mineral species; H = hypothetical (e.g., synthetic); I = intermediate in a solid-solution series; Q = questionable; Rd = Redefinition approved by IMA Commission on New Minerals Nomenclature and Classification (CNMNC); Rn = Renamed with approval of the CNMNC.

LAMPIRAN D
DESKRIPSI MINERAGRAFI

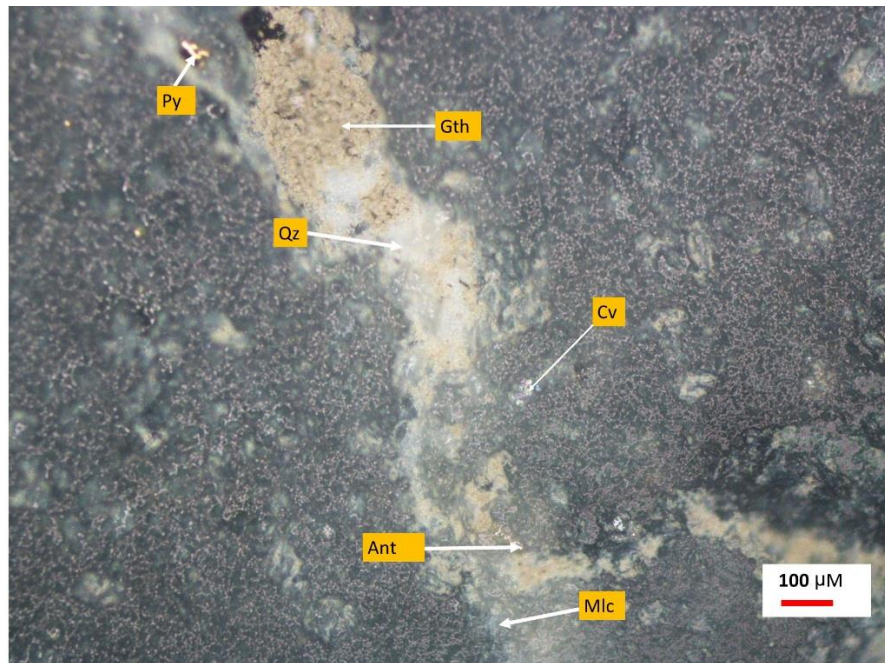
DESKRIPSI MINERALGRAFI

No Sampel : ST 01 A

Mineral Bijih : *pyrite, Goethite, Quartz, Anatase, Covelite, Malacite*

Referensi : Marshall, (2004)

Foto



Deskripsi Mineral

Komposisi Mineral	Keterangan Optik Mineral
Pirite (Py)	Warna kuning keemasan, memiliki relief tinggi, belahan satu arah, pecahan tidak rata, tidak memiliki pleokrisme, dan ukuran mineral 0,05 mm – 0,03 mm.
Goetite (Gth)	Warna coklat kemerahan, memiliki relief rendah, belahan satu arah, pecahan tidak rata, tidak memiliki pleokrisme dan ukuran mineral 0,3 mm – 0,2 mm.
Kuarsa (Qz)	Warna putih, mineral ini memiliki relief rendah, berbentuk subhedral – anhedral, pecahan <i>uneven</i> pleokroisme monokroik, dan ukuran mineral 0,3 mm – 0,35 mm.
Anatase (Ant)	Warna coklat keabu-abuan, relief rendah, bentuk anhedral, belahan sempurna, tidak memiliki pleokrisme, ukuran mineral 0,02 mm – 0,06 mm.
Covelite (Cv)	Warna biru ke abuabuan, relief rendah, bentuk subhedral - anhedral, belahan satu arah tidak memiliki pleokrisme, ukuran 0,01 mm – 0,02 mm.
Malakite (Mlc)	Warna hijau kehitaman, relief rendah, intensitas rendah, bentuk anhedral, belahan sempurna ukuran 0,1 mm – 0,15 mm.

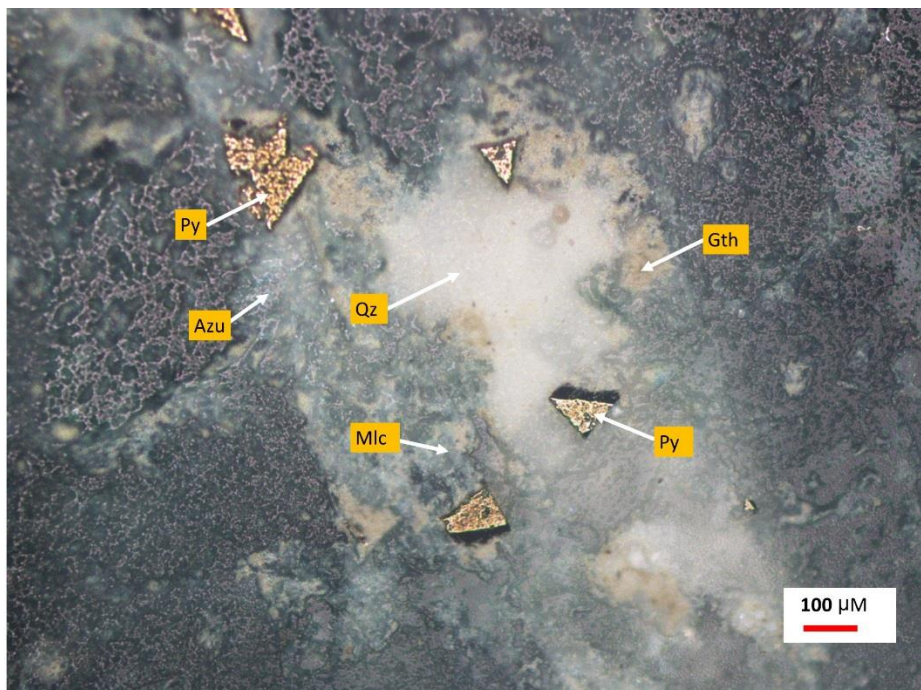
DESKRIPSI MINERALGRAFI

No Sampel : ST 01 B

Mineral Bijih : *pyrite*, *Goethite*, *Quartz*, *Azurite*

Referensi : Marshall, (2004)

Foto



Deskripsi Mineral

Komposisi Mineral	Keterangan Optik Mineral
Pirite (Py)	Warna Kuning keemasan, memiliki relief tinggi, belahan satu arah, pecahan tidak rata, tidak memiliki pleokrisme dan ukuran mineral 0,1 mm – 0,15 mm.
Goetite (Gth)	Warna coklat kemerahan, memiliki relief rendah, bentuk subhedral – anhedral, belahan satu arah, pecahan tidak rata, tidak memiliki pleokrisme dan ukuran mineral 0,08 mm – 0,1 mm.
Kuarsa (Qz)	Warna putih, mineral ini memiliki relief rendah, berbentuk subhedral – anhedral, pecahan uneven pleokroisme monokroik, dan ukuran mineral 0,3 mm – 0,4 mm.
Azurite (Azu)	Warna biru, memiliki relief rendah, bentuk subhedral – anhedral, memiliki pleokrisme dan ukuran mineral 0,01 mm – 0,02 mm.
Malakite (Mlc)	Warna hijau kehitaman, relief rendah, intensitas rendah, bentuk anhedral, belahan sempurna, tidak memiliki pleokrisme dan ukuran 0,1 mm – 0,15 mm.

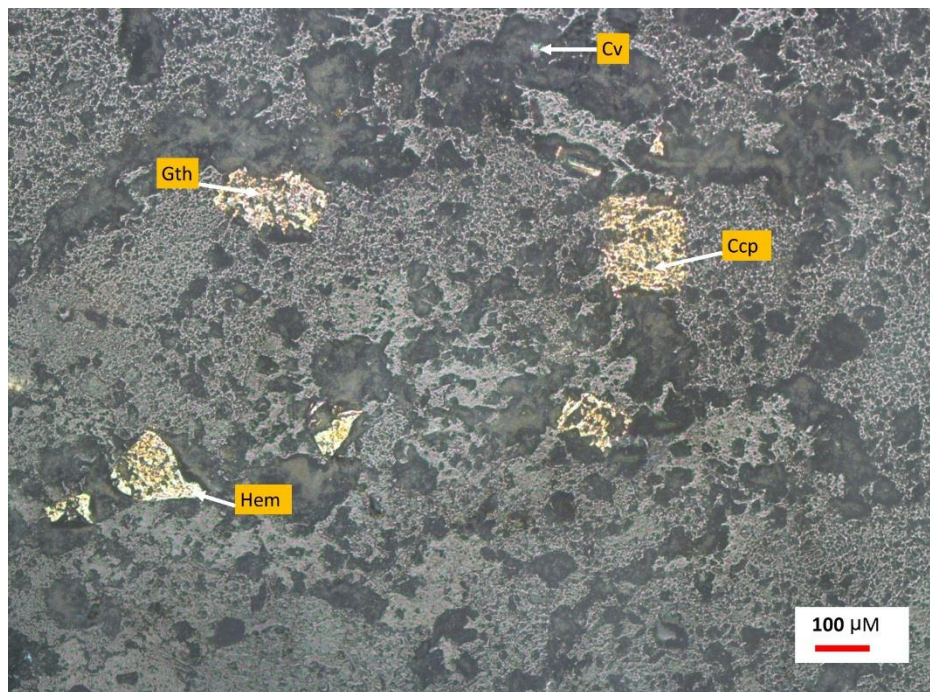
DESKRIPSI MINERALGRAFI

No Sampel : ST 02 A

Mineral Bijih : *pyrite, Goethite Quartz, Covelite, Hematite*

Referensi : Marshall, (2004)

Foto



Deskripsi Mineral

Komposisi Mineral	Keterangan Optik Mineral
Covelite (Cv)	Warna biru, relief rendah, bentuk subhedral - anhedral, memiliki pecahan konkoidal dan belahan sempurna, tidak memiliki pleokrisme, ukuran 0,01 mm – 0,02 mm.
Goetite (Gth)	Warna coklat kemerahan, memiliki relief rendah, bentuk subhedral – anhedral, belahan satu arah, pecahan tidak rata, tidak memiliki pleokrisme dan ukuran mineral 0,08 mm – 0,1 mm.
Pirite (Py)	Warna Kuning keemasan, memiliki relief tinggi, belahan satu arah, pecahan tidak rata, tidak memiliki pleokrisme dan ukuran mineral 0,1 mm – 0,15 mm.
Hematite (Hem)	Warna abu-abu perak bentuk subhedral – anhedral tidak ada pleokrisme ukuran mineral 0,03 mm – 0,04 mm.

DESKRIPSI MINERALGRAFI

No Sampel : ST 02 B

Mineral Bijih : *Calcopyrite* dan *Magnetite*

Referensi : Marshall, (2004)

Foto



Deskripsi Mineral

Komposisi Mineral	Keterangan Optik Mineral
Kalkopirite (Ccp)	Warna kuning cerah, bentuk anhedral, memiliki belahan tidak sempurna, pecahan tidak rata tidak memiliki pleokrisme memiliki relief tinggi, dan ukuran mineral 0,1 mm – 0,15 mm.
Magnetite (Mag)	Warna abu-abu kehitaman, memiliki relief tinggi, belahan satu arah, pecahan tidak rata, tidak memiliki pleokrisme dan ukuran mineral 0,05 mm – 0,1 mm.

LAMPIRAN E
HASIL ANALISIS AAS

IDENT	UNITS	DET.LIM	SCHEME	SGJ 01	SGJ 02
Au1	PPB	1	FA50/GF	>100	23
Au1	PPM	1	FA50/GF	>0.1	0,023
Au2	PPB	1	FA50/GF	>100	24
Au2	PPM	1	FA50/GF	>0.1	0,024
Au3	PPB	1	FA50/GF		
Au3	PPM	1	FA50/GF	0	0
Au4	PPB	1	FA50/GF		
Au4	PPM	1	FA50/GF	0	0
Pd	PPB	1	FA50/GF	3	3
Pd	PPM	1	FA50/GF	0,003	0,003
Pt	PPB	5	FA50/GF	<5	<5
Pt	PPM	5	FA50/GF	<0.005	<0.005
Au1	PPM	0,005	FA50/AA	1,25	
Au2	PPM	0,005	FA50/AA	1,37	
Au4	PPM	0,005	FA50/AA		
Al	PPM	50	4A/OE	450	2740
Ca	PPM	50	4A/OE	130	<50
Cr	PPM	5	4A/OE	5	6
Cu	PPM	1	4A/OE	25400	1720
Fe	%	0,01	4A/OE	2,91	>50
Fe	PPM	1,01	4A/OE	0,000291	>0.005
K	PPM	20	4A/OE	70	80
Mg	PPM	20	4A/OE	40	40
Mn	PPM	1	4A/OE	451	6
Na	PPM	20	4A/OE	60	<20
Ni	PPM	1	4A/OE	<1	2
P	PPM	50	4A/OE	400	200
S	PPM	50	4A/OE	>150000	3710
Sc	PPM	1	4A/OE	<1	<1
Ti	PPM	5	4A/OE	10	60
V	PPM	1	4A/OE	1	29
Zn	PPM	1	4A/OE	>50000	1950
Ag	PPM	0,1	4A/MS	190	0,8
As	PPM	1	4A/MS	354	1380
Ba	PPM	1	4A/MS	24	8
Be	PPM	0,5	4A/MS	<0.5	<0.5
Bi	PPM	0,05	4A/MS	0,58	21,9
Cd	PPM	0,05	4A/MS	1540	5,68
Co	PPM	1	4A/MS	<1	<1
Cs	PPM	0,1	4A/MS	<0.1	<0.1
Ga	PPM	0,1	4A/MS	11,7	11,5
Ge	PPM	0,1	4A/MS	3,8	6,1
Hf	PPM	0,1	4A/MS	<0.1	0,1
In	PPM	0,05	4A/MS	0,56	1,63
Li	PPM	0,1	4A/MS	1,1	<0.1
Mo	PPM	0,1	4A/MS	16	61,9
Nb	PPM	0,1	4A/MS	<0.1	0,2
Pb	PPM	1	4A/MS	>10000	486
Rb	PPM	0,1	4A/MS	0,6	0,3
Re	PPM	0,05	4A/MS	<0.05	<0.05
Sb	PPM	0,1	4A/MS	739	33,7
Se	PPM	1	4A/MS	4	<1

Sn	PPM	0,1	4A/MS	0,6	0,5
Sr	PPM	0,5	4A/MS	2,8	0,8
Ta	PPM	0,05	4A/MS	<0,05	<0,05
Te	PPM	0,1	4A/MS	<0,1	1,2
Th	PPM	0,05	4A/MS	<0,05	0,37
Tl	PPM	0,02	4A/MS	1,57	0,02
U	PPM	0,05	4A/MS	0,12	0,12
W	PPM	0,1	4A/MS	3,3	0,3
Y	PPM	0,1	4A/MS	<0,1	0,3
Zr	PPM	0,5	4A/MS	<0,5	3,6
Ce	PPM	0,1	4A/MS11	0,2	1,1
Dy	PPM	0,1	4A/MS11	<0,1	0,1
Er	PPM	0,1	4A/MS11	<0,1	<0,1
Eu	PPM	0,1	4A/MS11	<0,1	<0,1
Gd	PPM	0,1	4A/MS11	<0,1	<0,1
Ho	PPM	0,1	4A/MS11	<0,1	<0,1
La	PPM	0,1	4A/MS11	<0,1	0,4
Lu	PPM	0,05	4A/MS11	<0,05	<0,05
Nd	PPM	0,1	4A/MS11	<0,1	0,5
Pr	PPM	0,05	4A/MS11	<0,05	0,11
Sm	PPM	0,1	4A/MS11	<0,1	<0,1
Tb	PPM	0,05	4A/MS11	<0,05	<0,05
Tm	PPM	0,1	4A/MS11	<0,1	<0,1
Yb	PPM	0,1	4A/MS11	<0,1	<0,1
Al₂O₃	%	0,01	FB1/XRF250	0,33	0,56
CaO	%	0,01	FB1/XRF250	<0,01	<0,01
Cr₂O₃	%	0,01	FB1/XRF250	<0,01	<0,01
Fe₂O₃	%	0,01	FB1/XRF250	3,99	85,01
K₂O	%	0,01	FB1/XRF250	0,02	<0,01
MgO	%	0,01	FB1/XRF250	0,35	0,06
MnO	%	0,01	FB1/XRF250	0,04	<0,01
Na₂O	%	0,01	FB1/XRF250	13,06	0,01
P₂O₅	%	0,002	FB1/XRF250	<0,002	0,049
SiO₂	%	0,01	FB1/XRF250	11,95	0,96
TiO₂	%	0,01	FB1/XRF250	<0,01	0,02
S	%	0,002	FB1/XRF250	>2	0,573
LOI	%	0,01	LOI	13,84	12,92

Lampiran B 10
Kartu Konsultasi Tugas Akhir

JUDUL: Studi Mineralisasi Bijih ~~■■■~~ Pada Daerah
Sanjango kecamatan Karossa kabupaten
Mamuju Tengah Provinsi Sulawesi Barat

(Konsultasi minimal 8 kali)

TANGGAL	MATERI KONSULTASI	PARAF DOSEN
4/4/2022	Asistensi jadwal dan rumusan masalah penelitian	Sungku
12/4/2022	konsultasi data penelitian	Sungku
24/5/2022	konsultasi BAB I, II, III	Sungku
14/6/2022	Konsultasi BAB IV dan V	W.
7/7/2022	Asistensi laporan lengkap dan data penelitian	W.

TANGGAL	MATERI KONSULTASI	PARAF DOSEN
21/7/2022	Asistensi perbaikan laporan lengkap (Abstrak, BAB I, II, III, IV dan V)	[initials]
3/8/2022	Asistensi perbaikan format penulisan, papar, dan hasil analisis	Drafr
24/8/2022	Asistensi laporan lengkap Artikel dan Poster	Drafr
13/9/2022	Acc laporan lengkap	[initials]
27/9/2022	Asistensi laporan lengkap (Revisi seminar hasil I)	[initials]
29/9/2022	Asistensi BAB II dan IV (revisi)	Drafr
3/10/2022	Asistensi laporan lengkap	Drafr